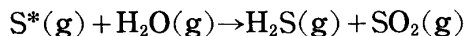


硫黄蒸氣と水蒸氣との反応について

小野健二* 高橋正弘*

1. 緒 言

硫黄の蒸溜製鍊法は、鑛石を硫黄の沸點以上450～600°Cに加熱して遊離硫黄を蒸溜し取出すものである。この様な操作の途中、氣相中に水蒸氣が存在する場合には、



の反応によつて硫黄が消費されることを考えなければならない。硫黄鑛石中に存在する水分が遊離の状態で含まれるもののみであれば、加熱の途中100°C附近の溫度で蒸發し去り、450°以上では水分は氣相中に僅かな量しか存在しないであろうと考えられるが、水分が結晶水の如き形で含まれる場合には、その放出は可成り高溫において行われることも考えられるので、氣相中に存在する水蒸氣の量は無視され得ず、従つて水蒸氣との反応による硫黄の損失が問題となつて来る。然るに、この問題を取扱つた報告は今日迄未だ見出されない。依つて著者等は從來知られている熱力學的數値を基礎としてこの問題の究明を試みた。

2. 硫黄—水系混合蒸氣の組成

2. 1 硫黄蒸氣の組成 硫黄蒸氣が $S_2(g)$, $S_6(g)$ 及び $S_8(g)$ 間の平衡より成る混合蒸氣であることは G. Preuner 及び W. Schupp¹⁾ の蒸氣密度の測定以來知られている事柄である。これら各種の分子形態間の平衡は次の如く表わされ、



(1), (2) 及び (3) 式の平衡恒數は次式で與えられる。

$$K_1 = p_{S_2}^4 / p_{S_8} \quad (4)$$

$$K_2 = p_{S_2}^3 / p_{S_6} \quad (5)$$

$$K_3 = p_{S_6}^4 / p_{S_8}^3 \quad (6)$$

K.K. Kelley²⁾ によれば、(1), (2) 及び (3) の反応の ΔG° は

$$\Delta G_1^\circ = 95,200 - 6.0T\ln T - 68.28T$$

$$\Delta G_2^\circ = 64,090 - 4.0T\ln T - 44.26T$$

$$\Delta G_3^\circ = 29,250 - 2.0T\ln T - 27.81T$$

である。この値を $\log K$ に換算すると、

$$\log K_1 = -20,813/T + 3.02 \log T + 14.928 \quad (7)$$

$$\log K_2 = -14,012/T + 2.01 \log T + 9.676 \quad (8)$$

$$\log K_3 = -6,395/T + 1.006 \log T + 6.080 \quad (9)$$

が得られる。

$S_2(g)$, $S_6(g)$, $S_8(g)$ 間の平衡にある硫黄の混合蒸氣 $S^*(g)$ の壓を p_{S^*} とすれば、 p_{S^*} は

$$p_{S^*} = p_{S_2} + p_{S_6} + p_{S_8} \quad (10)$$

で表わされる。

* 東北大學選礦製鍊研究所

1) Preuner, G. and W. Schupp : Z. Physik. Chem. 68 (1909), 125.

2) Kelley, K.K. : U.S. Bur. Mines Bull. 406 (1937).

今、各温度において p_{S^*} が種々の値をとる場合、それに伴つて変化する p_{S_2} , p_{S_6} 及び p_{S_8} の値を求めるため、

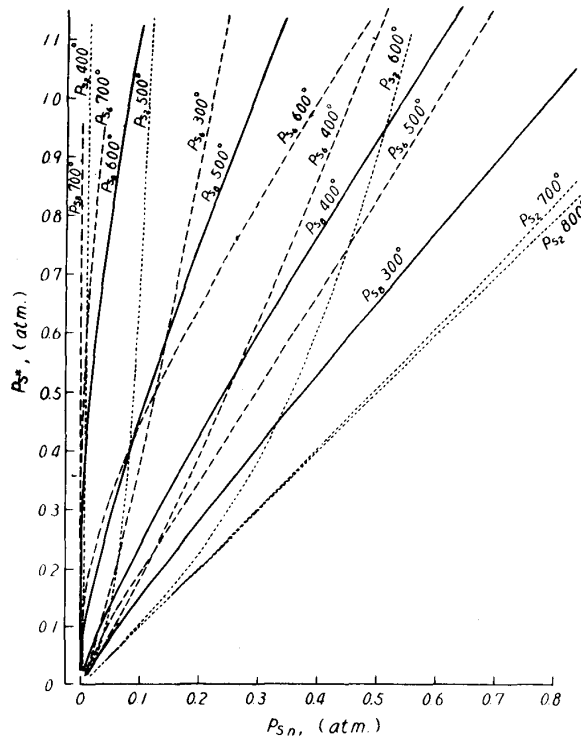
を得て、これらを(10)式に代入することにより

が得られる。同様にして、

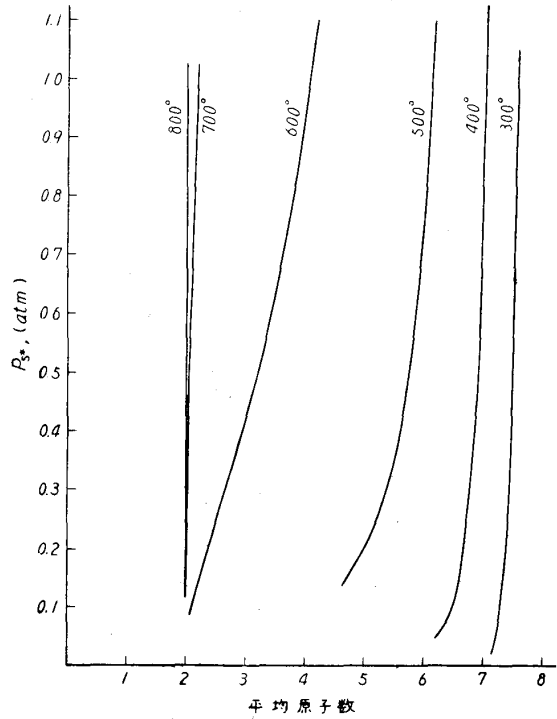
こゝにおいて(7), (8)及び(9)より各温度における K_1 , K_2 及び K_3 を得て(13)式に代入し, p_{S_a} に種々の値を與えて p_{S^*} を計算すれば、各温度における p_{S_a} と p_{S^*} の関係を求めることが出来る。又、 p_{S^*} に對應する p_{S_2} 及び p_{S_8} の値は(11), (12)を用いて(13)の p_{S_a} の値より求めることが出来る。第1圖は p_{S^*} の變化に伴う $S_2(g)$, $S_6(g)$ 及び $S_8(g)$ の各分壓の變化を示したものである。

$S_2(g)$, $S_6(g)$ 及び $S_8(g)$ の混合蒸気において, G. Preuner¹⁾, D.R. Stull³⁾, H. Braune⁴⁾ 等と同様に一分子についての平均原子数を M とすれば,

なる関係が得られる。第1図より求められる p_{S_2} , p_{S_6} , p_{S_8} 及び p_{S^*} より(15)式を用いて、各温度において p_{S^*} が変化した場合それに伴う M の値を求め、これを第2図に示す。



第1圖 $300^{\circ}\sim800^{\circ}\text{C}$ に於ける p_{S^*} 變化に對應する p_{S_2} , p_{S_6} 及び p_{S_8} の變化



第2圖 ρS^* 變化に伴う各溫度に於ける
平均原子數の變化

2.2 硫黄一水系混合蒸氣の組成 第1表の如き硫黄及び水の含有量を有する礫石を考え、その中の硫黄及び水が蒸發する際、含有量の割合を變化することなく1気圧の氣相を構成したと

3) Stull, D.R. : Ind. Eng. Chem. 41 (1949), 1968.

4) Braune, H., S. Peter and V. Neveling : Z. Naturforsch. 6A (1951), 32.

假定する。今、硫黄蒸氣を S_1 と假定すると、水蒸氣は白井の分子量測定⁵⁾の結果より單分子であると考えられるから、氣相における S_1 と水のモル分率は第2表の如くになる。然るに實際の硫黄蒸氣は混合氣體 $S^*(g)$ であり、平均原子數 M を考慮しなければならない。

第1表 硫黄と水の組成

	No.	1	2	3	4	5
含有量 (wt%)	硫黄水	25 5	25 10	25 15	40 10	60 10

第2表 硫黄と水の組成

	No.	1	2	3	4	5
モル分率	x_{S_1}	0.74	0.58	0.48	0.69	0.77
	x_{H_2O}	0.26	0.42	0.52	0.31	0.23

今、硫黄一水混合蒸氣の全圧 $P=1\text{ atm}$, 全モル數 $N=1$ とすると、水と混合硫黄のモル數 $n_{\text{H}_2\text{O}}$, n_{S^*} と $p_{\text{H}_2\text{O}}$, p_{S^*} の関係は、

となる。又、 $S_2(g)$ 、 $S_6(g)$ 及び $S_8(g)$ のモル數を夫々 n_{S_2} 、 n_{S_6} 及び n_{S_8} とすると、 p_{S_2} 、 p_{S_6} 及び p_{S_8} は

$$p_{S_2} = \frac{n_{S_2}}{n_{S^*}} \cdot p_{S^*} \quad \longrightarrow \quad p_{S_2} = n_{S_2}$$

$$p_{S_8} = \frac{n_{S_8}}{n_{S^*}} \cdot p_{S^*} \quad \longrightarrow \quad p_{S_8} = n_{S_8}$$

で表わされる。又、全モル數を 1 とすれば各蒸氣のモル數はモル分率に等しいと考えられる。

各温度における $S^*(g)$ と $H_2O(g)$ のモル分率を求めるには、第2図より求められる平均原子数 M の適当な値を用いて、第2表の x_{S^*} の値を除しその商と第2表の x_{H_2O} より、モル分率 x_{S^*}' 及び x_{H_2O}' を求める。 x_{S^*}' は p_{S^*} に等しいと考えてよいから、第2図で x_{S^*}' に對応する

第3表(1) 各温度における氣相の組成

	No.	1	2	3	4	5
溫 度 (°C)	平均原子數	7.43	7.37	7.31	7.40	7.44
	x_{S^*}	0.277	0.158	0.112	0.231	0.310
	x_{S_2}	0.078	0.050	0.038	0.068	0.085
	x_{S_8}	0.199	0.108	0.074	0.163	0.225
	x_{H_2O}	0.723	0.842	0.888	0.769	0.690
	平均原子數	6.76	6.62	6.58	6.72	6.79
400	x_{S^*}	0.296	0.173	0.123	0.249	0.330
	x_{S_2}	0.008	0.007	0.006	0.008	0.008
	x_{S_6}	0.157	0.098	0.072	0.135	0.173
	x_{S_8}	0.131	0.068	0.045	0.106	0.149
	x_{H_2O}	0.704	0.827	0.877	0.751	0.670
	平均原子數	5.49	5.06	4.78	5.35	5.55
500	x_{S^*}	0.341	0.214	0.162	0.294	0.376
	x_{S_2}	0.078	0.066	0.058	0.074	0.081
	x_{S_6}	0.197	0.116	0.083	0.167	0.219
	x_{S_8}	0.066	0.032	0.021	0.053	0.076
	x_{H_2O}	0.659	0.786	0.838	0.706	0.624

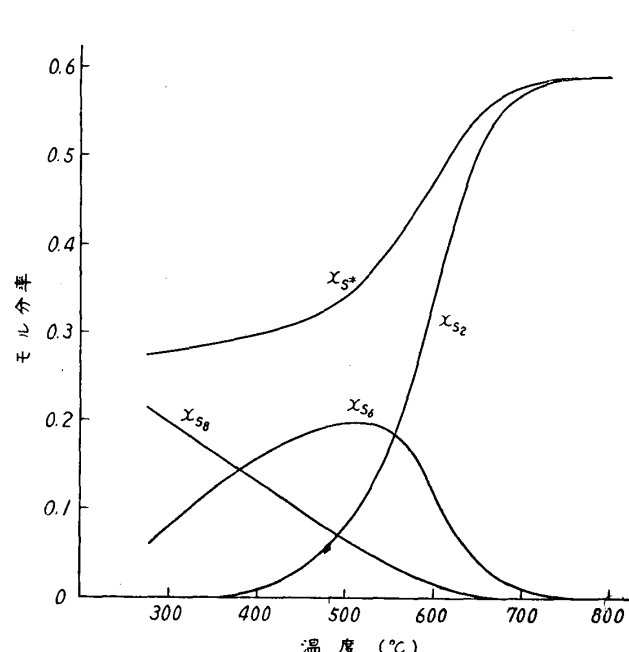
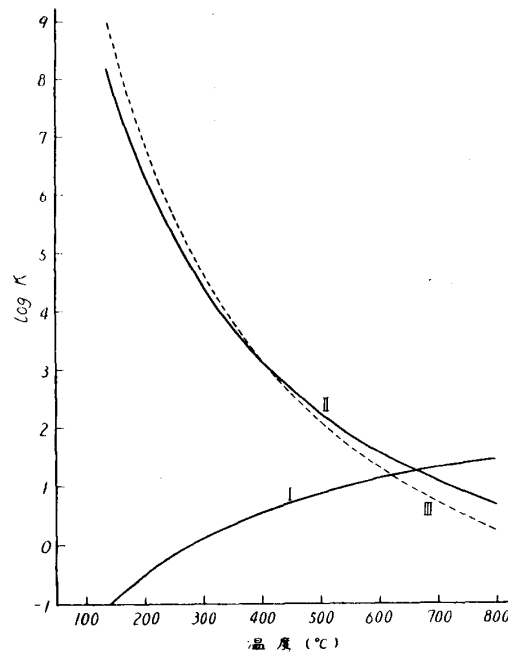
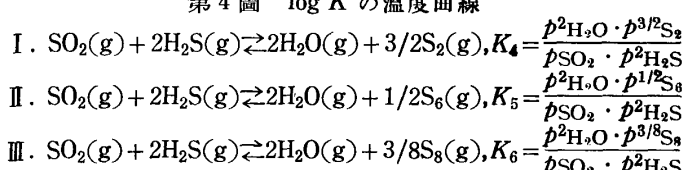
M' の値を求めて、この M' の値で xs_1 を除してそれより $xs^{*''}$ を求める。この操作を反覆して M 及び xs^* の一定になる値を見出し、その M 及び xs^* の値を各温度におけるものとして挿入する。

5) 自井俊明：日化，44（1923），887。

する。 x_{S^*} が定まれば、 x_{S_2} , x_{S_6} 及び x_{S_8} は第1圖より求めることが出来る。第3表は各温度における平均原子数 M , $S^*(g)$ のモル分率 x_{S^*} , $S_2(g)$, $S_6(g)$ 及び $S_8(g)$ のモル分率 x_{S_2} , x_{S_6} 及び x_{S_8} , 水蒸気のモル分率 x_{H_2O} を一括して挙げたものである。第3圖は第2表中の1なる組成を有する硫黄一水系混合蒸氣における x_{S^*} , x_{S_2} , x_{S_6} 及び x_{S_8} の温度に伴う変化を示したものである。

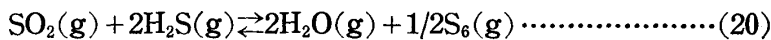
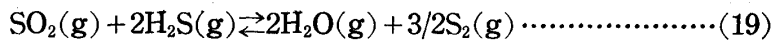
第3表(2) 各温度における氣相の組成

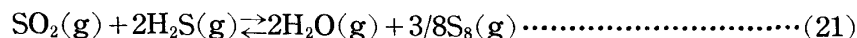
	No.	1	2	3	4	5
温 度 (°C)	平均原子数	3.16	2.76	2.56	3.03	3.24
	x_{S^*}	0.474	0.333	0.265	0.423	0.508
	x_{S_2}	0.345	0.272	0.229	0.320	0.360
	x_{S_6}	0.114	0.055	0.033	0.092	0.130
	x_{S_8}	0.015	0.006	0.003	0.011	0.018
	x_{H_2O}	0.526	0.667	0.735	0.577	0.492
600	平均原子数	2.07	2.04	2.02	2.05	2.08
	x_{S^*}	0.579	0.404	0.314	0.521	0.617
	x_{S_2}	0.570	0.401	0.313	0.514	0.605
	x_{H_2O}	0.009	0.003	0.001	0.007	0.012
700	平均原子数	2.00	2.00	2.00	2.00	2.00
	x_{S^*}	0.587	0.408	0.316	0.527	0.626
	x_{H_2O}	0.413	0.592	0.684	0.473	0.374
800	平均原子数	2.00	2.00	2.00	2.00	2.00
	x_{S^*}	0.587	0.408	0.316	0.527	0.626
	x_{H_2O}	0.413	0.592	0.684	0.473	0.374

第3圖 $x_{S_1}=0.74$, $x_{H_2O}=0.26$ なる組成を有する硫黄一水系混合蒸氣の温度変化に伴うモル分率の變化第4圖 $\log K$ の温度曲線

3. 気相における硫黄と水の反応

$\text{S}_2(\text{g})$, $\text{S}_6(\text{g})$ 及び $\text{S}_8(\text{g})$ が夫々單獨に水と反応する場合には





の平衡が考えられる。(19)～(21)の平衡恒数は夫々次式で與えられる。

K_4 , K_5 及び K_6 の温度関係式として T.F. Doumani⁶⁾ 等は次の値を擧げている.

$$\log K_4 = -1.503/T + 1.38 \log T - 6.13 \times 10^{-4}T + 6.78 \times 10^{-8}T - 0.74 \dots\dots (25)$$

第4図は(25)～(27)式より得られる温度と $\log K$ の関係を示す曲線である。

硫黄一水系混合蒸氣の組成は 2.2 において知ることが出來た。今、 $S^*(g)$ の中で $S_6(g)$ と $S_8(g)$ は反応に關與せず $S_2(g)$ のみが (19) の反應に従うと考える。この場合平衡時における各ガスのモル數を夫々 n_{SO_2} , n_{HS_2} , n_{H_2O} , n_{S_2} , n_{S_6} , n_{S_8} とし、全モル數を N 、全壓を P とすれば

$$p_{\text{SO}_2} = \frac{n_{\text{SO}_2}}{N} \cdot P, \quad p_{\text{H}_2\text{O}} = \frac{n_{\text{H}_2\text{O}}}{N} \cdot P, \quad p_{\text{H}_2\text{S}} = \frac{n_{\text{H}_2\text{S}}}{N} \cdot P, \quad p_{\text{S}_2} = \frac{n_{\text{S}_2}}{N} \cdot P \quad \dots (28)$$

の形で各分圧を書き表すことが出来る。この値を(22)式に代入すれば K_1 は

$$K_4 = \left(\frac{n_{H_2O}}{N} \cdot P \right)^2 \cdot \left(\frac{n_{S_2}}{N} \cdot P \right)^{3/2} / \left(\frac{n_{SO_2}}{N} \cdot P \right) \cdot \left(\frac{n_{H_2S}}{N} \cdot P \right)^2 \\ = n_{H_2O}^2 \cdot n_{S_2}^{3/2} \cdot P^{1/2} \cdot N^{-1/2} / n_{SO_2} \cdot n_{H_2S}^2 \quad \dots \dots \dots \quad (29)$$

で表わされる。同様に

a モルの $\text{H}_2\text{O(g)}$ と b_1 モルの $\text{S}_2\text{(g)}$ が反応した場合を考えると、平衡時における系のガス

第4表 溫度と各組成に對應する硫黄の反應量

	No.	1	2	3	4	5
溫 度 (°C)	400	0.0052	0.0046	0.0040	0.0052	0.0052
	500	0.0356	0.0330	0.0303	0.0350	0.0360
	600	0.0700	0.0711	0.0680	0.0714	0.0685
	700	0.0687	0.0736	0.0707	0.0715	0.0659
	800	0.0631	0.0680	0.0648	0.0663	0.0604

	No.	1	2	3	4	5
溫 度 (°C)	300	0.0104	0.0108	0.0106	0.0107	0.0103
	400	0.0301	0.0308	0.0303	0.0307	0.0296
	500	0.0562	0.0578	0.0564	0.0574	0.0551
	600	0.0667	0.0660	0.0559	0.0680	0.0651
	700	0.0180	0.0060	0.0020	0.0140	0.0240

	No.	1	2	3	4	5
溫 度 (°C)	300	0.0112	0.0115	0.0103	0.0114	0.0110
	400	0.0314	0.0322	0.0316	0.0320	0.0310
	500	0.0538	0.0524	0.0468	0.0542	0.0529
	600	0.0393	0.0158	0.0078	0.0291	0.0474

6) Doumani, T.F., R.F. Deery and W.E. Bradley : Ind. Eng. Chem. 36 (1944), 329.

組成は $n_{SO_2} = y_1$ とすると, $n_{H_2S} = 2y_1$, $n_{H_2O} = (a - 2y_1)$, $n_{S_2} = (b_1 - 3/2y_1)$ で表わされる。従つて(29)式は

$$K_4 = (a - 2y_1)^2 \cdot (b_1 - 3/2y_1)^{3/2} \cdot (a + b_1 - 1/2y_1 + n_{S_6} + n_{S_8})^{-1/2} \cdot P^{1/2} / 4y_1^3 \quad (32)$$

同様に

$$K_5 = (a - 2y_2)^2 \cdot (b_2 - 1/2y_2)^{1/2} \cdot (a + b_2 + 1/2y_2 + n_{S_2} + n_{S_8})^{1/2} \cdot P^{-1/2} / 4y_2^3 \quad \dots \dots (33)$$

$$K_6 = (a - 2y_3)^2 \cdot (b_3 - 3/8y_3)^{3/8} \cdot (a + b_3 + 5/8y_3 + n_{S_2} + n_{S_8})^{5/8} \cdot P^{-5/8} / 4y_3^3 \quad \dots \dots (34)$$

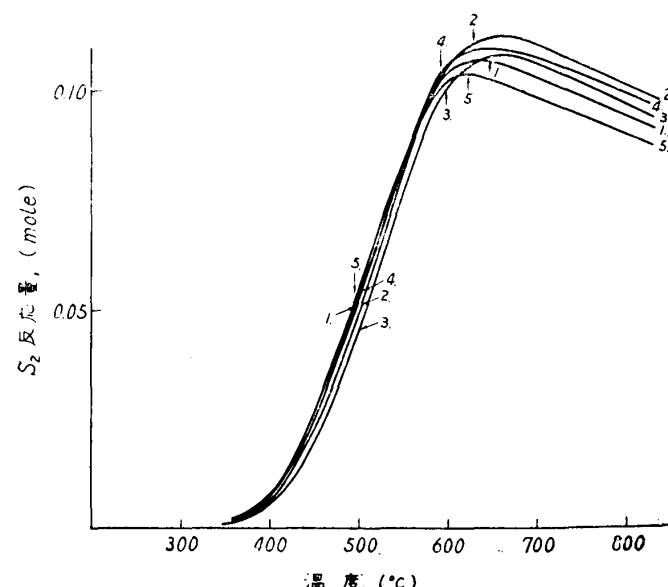
こゝにおいて反応前の全モル数を1とすると、(32)において a , b_1 , n_{S_6} 及び n_{S_8} は夫々反応前のモル分率と考えてよいから、第3表における x_{H_2O} , x_{S_2} , x_{S_6} 及び x_{S_8} の値を夫々用いて(32)により K_4 と y_1 の関係を示す曲線を求めて、 y_1 に対する $\log K_4$ の値を図示し、(25)より求められる各温度の $\log K_4$ との交點よりその温度における y_1 の値を求める。 y_2 , y_3 も同様の方法で求める。第4表は各温度における y_1 , y_2 及び y_3 の値を記載した。

(19)～(21)の反応によつて消費される $S_2(g)$, $S_6(g)$ 及び $S_8(g)$ の値は夫々 $3/2y_1$, $1/2y_2$, $3/8y_3$ で與えられる。第5圖は $S_2(g)$, $S_6(g)$ 及び $S_8(g)$ の反応量の温度による変化を示す。圖中の1, 2, …, 5の記號は夫々第2表の1, 2, …, 5に相當する組成を有する混合蒸氣についての曲線であることを示す。(以下同様)

第5圖においてモル數にて與えられた $S_2(g)$, $S_6(g)$ 及び $S_8(g)$ の反応量を S_1 の値に換算して、總計したものを $S^*(g)$ の反応量とし、その温度變化を第6圖に示した。反応前の $S^*(g)$ を S_1 に換算せるモル數 $M \times x_{S^*}$ と温度との関係を第7圖に示す。第6圖より求められる $S^*(g)$ の反応量を $M \times x_{S^*}$ にて除し100倍すれば硫黄反応率を重量百分率にて表すことが出来る。第8圖は硫黄反応率を温度との関係において示したものである。

4. 考 察

第5圖(1)に示した $S_2(g)$ の反応量は 400° から 600° の間で急に上昇し、 600° ～ 700° の間で最大値を経てから暫次減少する傾向を示している。これは第3圖に見る如く、 $S_2(g)$ のモル分率は温度上昇に伴い増加する傾向があり、この影響が 400° ～ 600° の間における $S_2(g)$ の反応量の増加となつて表われる。然るに K_4 の値は第4圖の如く温度上昇につれて大きくなり、(19)の反応は温度上昇と共に硫黄生成の方向に傾るために $S_2(g)$ の反応量は小さくなる傾向を有する。 650° 近傍よりは x_{S_2} の増加よりも K_4 の変化の影響の方が強く表れるために $S_2(g)$ の反応量が減少して行くものと思われる。 $S_6(g)$ について考えると、 x_{S_6} は 515° 附近で最も高い値をとりそれより左右に離れるに従つて小さくなつて行く。一方 K_5 の値は温度上昇につれて小さくなり(20)の反応は硫黄の消費する方向に片寄る傾向を示す。従つて第5圖(2)に見られる



第5圖(1) 溫度と S_2 反応量の関係

$S_6(g)$ の反応量は兩者の影響を受けて 550° 附近迄は増加し、それ以上の温度では K_5 の変化は小さく、 x_{S_6} が急激に減少するため、この影響に支配されて反応量が減少するものと考えられる。又、 $S_8(g)$ については、 x_{S_8} は温度上昇に伴つて減少し、 K_6 の値は温度上昇と共に小さくなる。

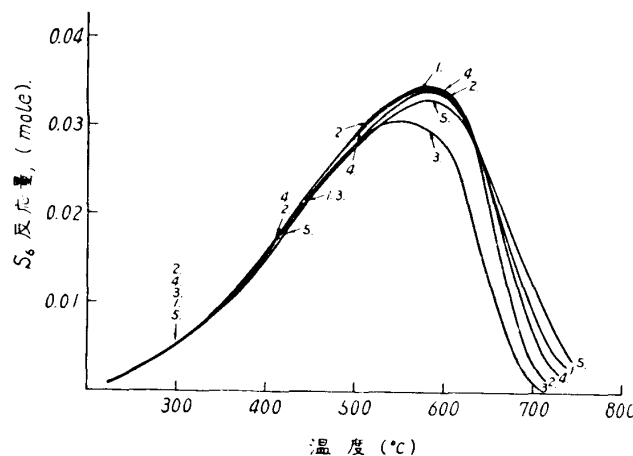
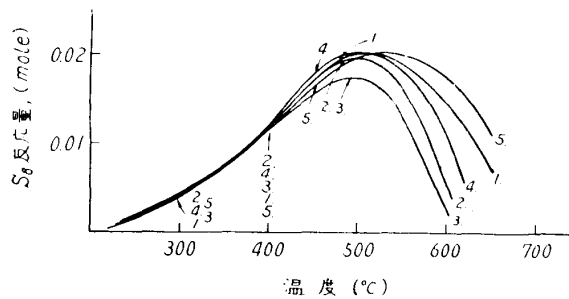
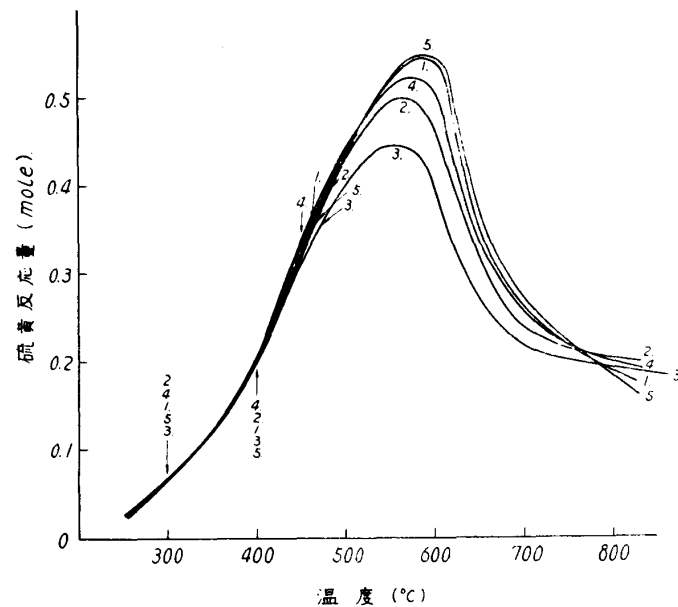
第5圖(3)における S_8 反応量は K_6 の変化の影響によつて 500° 近傍迄増加するがそれ以上では K_6 の変化が小さくなり、 x_{S_8} が非常に小さくなるので、 x_{S_8} の減少による影響が支配的となつて反応量の低下を來す結果となる。

$S_2(g)$, $S_6(g)$ 及び $S_8(g)$ の反応量を總計した第6圖、反応量と $M \times x_{S^*}$ より反応率を求めて圖示せる第8圖において 550°~600° の間に最大値が見られる。この溫度は丁度 S_2 , S_6 の反応量の最も大きな所と一致している。又最大値の右側において反応率が左側に比し高い所もに落着いているのは、 $S_2(g)$ の反応量が 650° 以上において未だ可成りの量があるためである。

第8圖を見ると、以上の外に硫黄に対する水の割合が小さい程反応率は低く、大きい程反応率は高いということが知られる。硫黄に作用する水の量が少なければ硫黄の反応量が少なく、從つて反応率が低下するのは當然である。

上記の事柄より、蒸溜製鍊法における操業の際に、水分の影響による硫黄の實收率の低下を防ぐためには、550°~600° 附近の硫黄反応率の大きい範囲を避けねばよいことが知られるが、實操業では釜内溫度は正常な蒸溜作業においては 500° 前後或いはそれ以上に上るのが普通であり、又蒸發速度即ち單位操業當りの効率を考えた場合にも、經驗的に上記の溫度が採用されるものであれば、鑛石の乾燥が注意を拂うべき點となつて来る。

次に、この計算に當り氣相を構成する各種の蒸氣のモル分率を求めるために、原鑛石中の硫黄と水がその含有量における比率を變えることなくそのままの割合で氣相を構成すると假定している。然し、燒取法製鍊の過程を考えると、溫度が硫黄の沸點以上迄上昇する以前において相當量の水分の蒸發は既に行われているものと考えられ、その水分は新たに蒸發して來る硫黄蒸氣のために、沈澱罐の方に送り出されるであろうから、釜内における水分はこゝに用いた値よりも實際は低くなつていると思われる。又こ

第5圖(2) 溫度と S_6 反応量の關係第5圖(3) 溫度と S_8 反応量の關係第6圖 S_1 に換算せる硫黄反応量と溫度の關係

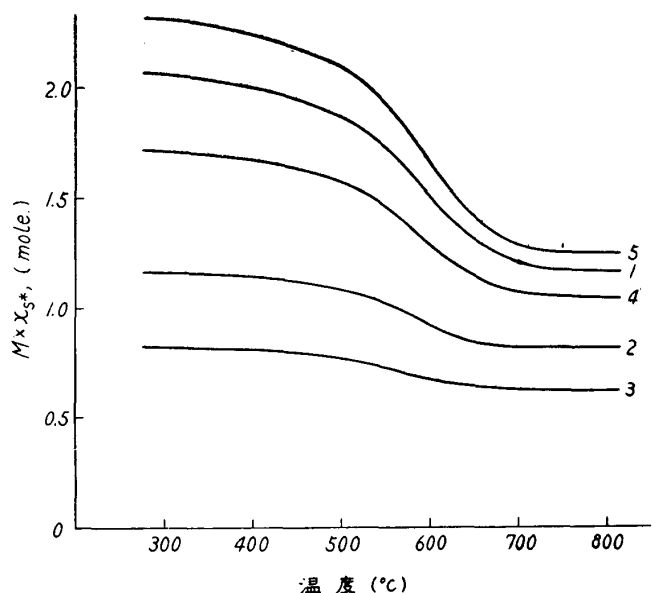
で求めた反応量は各温度における平衡系の値であるが、沈澱罐に導かれる途中の冷却過程の如く温度分布の均一ではない容器内を移動している反応系については、同一温度の所に滞留している時間は短く充分平衡に達しているものとは考えられない。従つて前記個所においては硫黄反応率は算出せる値より實際は低くなっているであろう。

次に沈澱罐においては、温度は $230^{\circ}\sim 250^{\circ}$ では一定に保たれ、硫黄蒸氣は常に凝縮を行つてゐる。従つてこの部分における硫黄の分圧はその温度における飽和蒸氣圧で、W.A. West 等⁷⁾によれば、液體硫黄の飽和蒸氣圧 P_{S^*} は、 $120^{\circ}\sim 325^{\circ}$ では

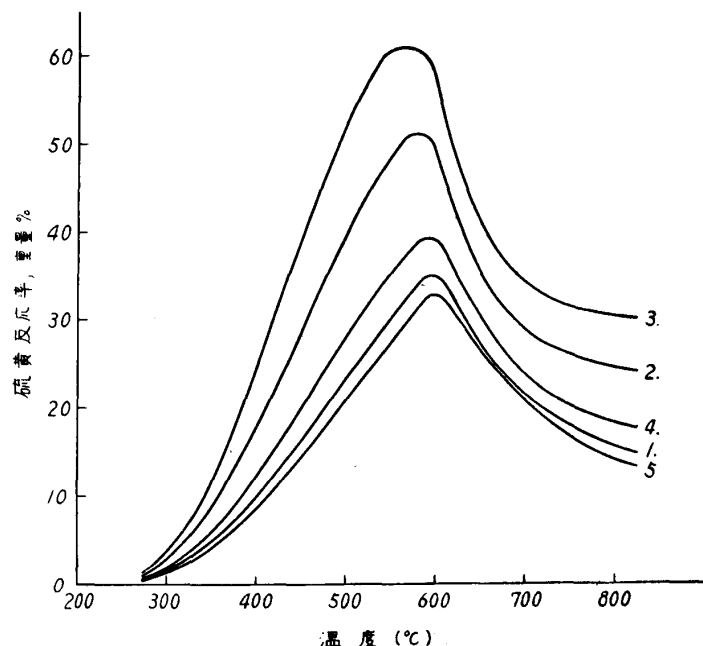
$$\log P_{S^*} = 14.7 - 0.0062238T - 5,405.1/T \dots\dots (35)$$

$325^{\circ}\sim 550^{\circ}$ では

$$\log P_{S^*} = 7.43287 - 3,268.2/T \dots\dots (36)$$



第7圖 溫度と $M \times x_{S^*}$ の關係



第8圖 溫度と硫黄反応率の關係

以上の如く種々の假定を設けて計算を行つたが、その結果からも氣相における硫黄と水の反応の傾向は充分察知することが出来るが、實操業における蒸溜温度と礫石中の水分とが硫黄の收率に及ぼす影響については資料に乏しいので今後の検討に俟ちたい。

で與えられる。これによると硫黄の飽和蒸氣圧は、 230° では0.007気圧、 250° では0.016気圧となる。この外に1気圧の氣相を構成するためには先に蒸發して釜より送り出された水蒸氣、 SO_2 、 H_2S 、殘留する空気が存在すると考えてよい。然し、 $230^{\circ}\sim 250^{\circ}$ では硫黄蒸氣中に $\text{S}_2(\text{g})$ は存在せず、 $\text{S}_6(\text{g})$ 及び $\text{S}_8(\text{g})$ と水蒸氣との反応を考えると、 K_5 、 K_6 は共に 10^5 以上の大きな値であり、これらの反応による硫黄の損失は全硫黃量に比して小さいものとなろう。又、この部分では高溫で生成した SO_2 及び H_2S も温度が低下しているため逆反応によつて再び $\text{H}_2\text{O}(\text{g})$ と $\text{S}^*(\text{g})$ になることが考えられる。華藏では更に低溫であるからこの傾向は一層大となるであろう。

7) West, W.A. and A.W.C. Menzies: J. Phys. Chem. 33 (1929), 1880.